

捨石堤下部の砂粒子の移動に関する研究(1)

山口大学 正 金山和雄

1. 概説

海岸には水流を容易にとうす、いわゆる透過程の構造物が数多く見受けられる。たとえば離岸堤、捨石堤などである。これらの構造物の破壊原因の一端として、取り出しが現象があげられる。この現象のメカニズムの解明はまだ十分とは言い難い、そこでこのメカニズムの解明を試み、前報¹⁾までに得た考察にもとづき、その一段階を示したものである。特に透過程構造物に波が入射した場合、その内部にマクロな水流が生じ、これと底質砂粒子の移動が密接に關係している事を示したものである。

2. 理論的考察

Fig-1 は座標を定義したものである。流体は非圧縮、入射波を微小振幅波と仮定すると、運動、および連続の方程式は各々、次式で与えられる。

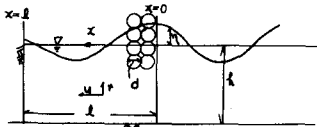


Fig-1. 座標と諸元

$$\frac{\partial \bar{u}}{\partial t} = -g \frac{\partial \eta}{\partial x} - f \bar{u}, \quad \frac{\partial \eta}{\partial t} + h \frac{\partial \bar{u}}{\partial x} = 0 \quad (1)$$

式(1)を境界条件 $\eta|_{x=0} = \frac{H_0}{2} \sin st$, $U|_{x=l} = 0$ の下で解くと η , U , V を與する表示が得られる。²⁾ すると Longuet-Higgins の質量輸送理論を用いると、質量輸送速度に關する次式が得られる。

$$\bar{U}_2^* = \left(\frac{H_0}{2}\right)^2 \frac{\delta \pi^2 (P_0 T_0 - Q_0 S_0)}{2 \sinh^2 nh \{ (\cosh ml \cdot \cos nl)^2 + (\sinh ml \cdot \sin nl)^2 \}} \times \left\{ \cosh 2ny_0 - \frac{\sinh 2nh}{2nh} \right\} \quad (2)$$

$$m = \sqrt{\frac{\delta^2}{2gh}} \{ \sqrt{1 + (\frac{\delta}{2h})^2} \mp 1 \} \quad (3)$$

$$P = \cosh ml \cdot \cos nl \cdot \cosh m(l-x) \cdot \cos n(l-x) + \sinh ml \cdot \sin nl \cdot \cosh m(l-x) \cdot \sin n(l-x) \quad (4)$$

$$Q = \cosh ml \cdot \cos nl \cdot \sinh m(l-x) \cdot \sin n(l-x) - \sinh ml \cdot \sin nl \cdot \cosh m(l-x) \cdot \cos n(l-x) \quad (5)$$

$$S = \int_x^x P dx, \quad T = \int_x^x Q dx \quad (6)$$

$$J_0 = \frac{\partial P_0}{\partial x_0}, \quad K_0 = \frac{\partial Q_0}{\partial x_0} \quad (7)$$

$$\bar{u} = u - \frac{\sinh nh}{nh \cosh nh} \quad (8)$$

添字 0 は静水時のそれと示す。

尚、流体抵抗係数については、すでに次式を報告した。³⁾

$$\frac{\delta}{d} = \sqrt{\left\{ \frac{2gh}{d^2} (\alpha X_0^2 + 1) \right\}^2 - 1} \quad (9)$$

$$X = H_0 \cdot h \cdot l / d^2 \quad d = 0.0954 + 5.233(l/d)$$

$$\beta = 0.18348 (l/d)^{0.13627}$$

式(9)を用いれば、透水体内部の水理諸量が推算可能となる。Fig-2 は式(2)により求めた質量輸送速度の分布を示したものである。

これによると $y=0.6h$ における \bar{U}_2^* は 0 となり、それより上部では、透水体内部へ、それより下部においては、透水体外部へ向う流速 \bar{U}_2^* をもち、その大きさは、透水体内部半径、小さくなる。

Y 方向の質量輸送速度は水面、K 底ごとに 0 となり、 $y=0.6h$ で最大となる。

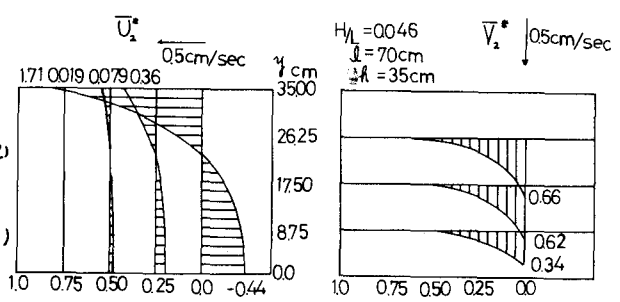


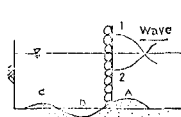
Fig-2. 質量輸送速度の分布。

Fig. 2によれば、透水体内部において、水面近くでは透水体の奥部へ、透水体下部においては透水体外部へ向う流れが生起するものと考えられる。この事は比重1のトレーサーにより実験的に確認した事と一致する。

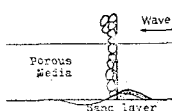
Fig. 3は、前報³⁾で報告した、波粒子の軌跡を10回期間にわたって計算したものである。

これによると以下の推察が得られる。

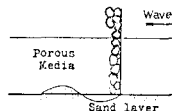
この循環する流れは、入射波の波形勾配が大きい程、顯著になるが、それは透水体の前面部分に集中する傾向がある。一方、波形勾配の小さな波においては、この流れは小さくなるが、透水体の奥部にまで循環流れが見られる。この流れの大きさは $\propto \text{オーダー}$ であるが、吸い出し現象の時間的オーダーを考えると、大きい作用をもつと言える。波動運動により透水体内に生ずる水平流速は底質砂粒子の限界流速より大きくなる断面においては、石粒は前後に運動しはじめ、この循環流れの存在により、前後運動の中心が除々にずれて、石粒は透水体外部に吸い出されると推察される。



Case 1



Case 2



Case 3

Fig. 4 底質砂粒子の移動

Case-2においては、Case-1に比べて質量輸送速度が大きく、それにともなう循環流も大きく、C断面の堆積が極端にA断面の堆積が大きくなっている。Case-3は底面流速が大きく、砂粒子は浮遊状態を保ち、透水体奥部へ進む質量輸送速度に拘らず、C断面に堆積する。もう一つのCase-1では $U_c > U_i$ なるため、砂粒子が全く移動しない。

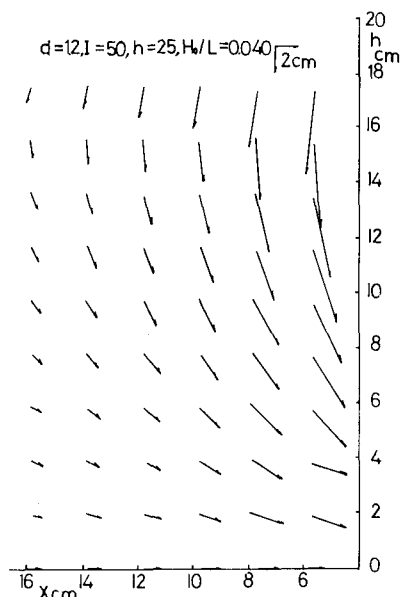


Fig. 3. 透水体内部の流れの様相

3. あとがき

本報では、前報までの研究に得た知見をもとに、吸い出し現象のメカニズムについての考察を示した。

特に Languet-Higgins の質量輸送の考え方を応用し、透水体内部に波が入射する事により、循環流れが生起する事を示した。この事は実験的に認めら小川事と一致した。現在、入射波の特性、透水体の長さ、構成材の代表長、石粒、etc を種々変化させて検討を進めてある。

参考文献

- 1) 金山和雄、昭和52年度学会講演会概要集（土木学会中四日会場）PP 69～80
- 2) 金山和雄、干拓堤防の被災に因る研究
山大工研報告 25巻 2号
- 3) 金山和雄、沿岸工学講演会論文集
1975年、PP 539～544